

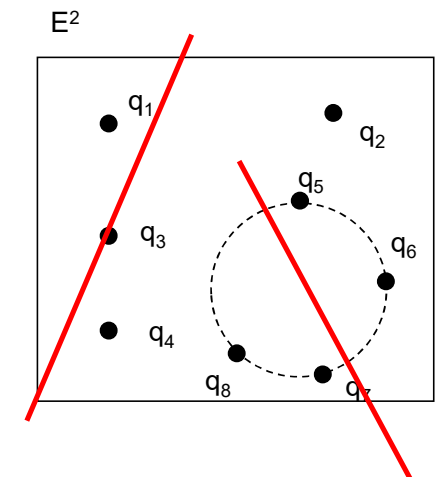
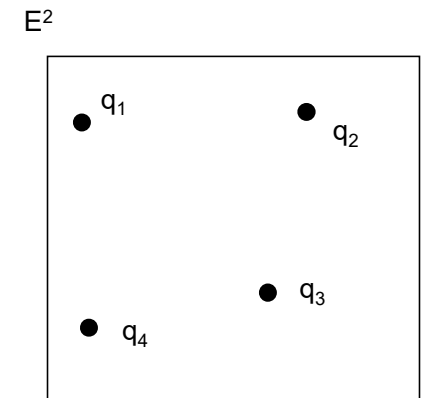
Méthodes applicables aux modèles continus

- Partitionnement du plan en régions à partir de points
 - Répond à un problème majeur de la géométrie :
 - Représentation de relations de distance entre objets et de phénomènes de croissance
 - ex :
 - pour modéliser cristaux ou autres structures,
 - pour planifier mouvement
 - Pour rechercher les plus proches voisins
 - Rq: présence à l'état naturel: carapace de tortue, cou réticulé de girafe ...
- ⇒ Diagrammes de proximité
- Voronoï mathématicien russe le 1er à formaliser cette notion
 - ⇒ Diagrammes de Voronoï
- Delaunay a continué ces travaux

Méthodes applicables aux modèles continus

- Diagramme de Voronoï

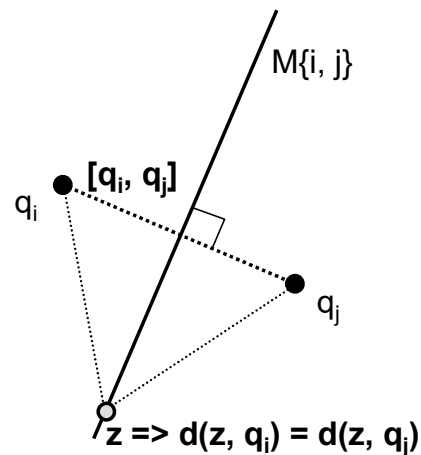
- Soit le plan E^2 , on définit un ensemble de n **sites** (points de E^2).
- Un **site** est un point privilégié de E^2
- On note $S_n = \{q_1, q_2, \dots, q_n\}$ un ensemble de n **sites** de E^2 .
- On considère l'ensemble d'indice I tel que $I = \{1, 2, \dots, n\}$
- Les **sites** sont dits en "position générale":
 - Il ne peut y avoir 3 sites alignés
 - Il ne peut y avoir plus de 3 sites sur un même cercle



Méthodes applicables aux modèles continus

- Diagramme de Voronoï

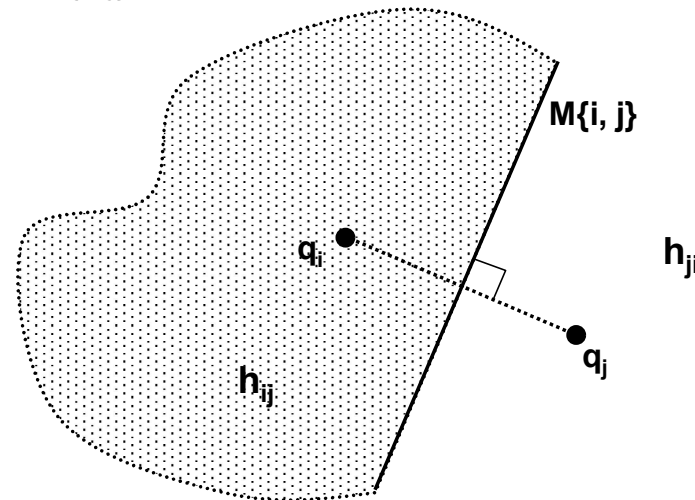
- On considère deux sites q_i et q_j de E^2 .
- On considère $d(q_i, q_j)$ la distance Euclidienne entre les sites q_i et q_j .
- Alors la **médiatrice** du segment $[q_i, q_j]$, notée $M\{i, j\}$, est le lieu des points de E^2 à égal distance de q_i et de q_j



Méthodes applicables aux modèles continus

- Diagramme de Voronoï

- On définit le 1/2 **espace** associé à q_i et q_j par:
 - $h_{ij} = \{z \in E^2 / d(z, q_i) \leq d(z, q_j)\}$,
cad, les points de E^2 plus près de q_i que de q_j
 - On a donc: $E^2 = h_{ij} \cup h_{ji}$ et $h_{ij} \cap h_{ji} = M\{i, j\}$

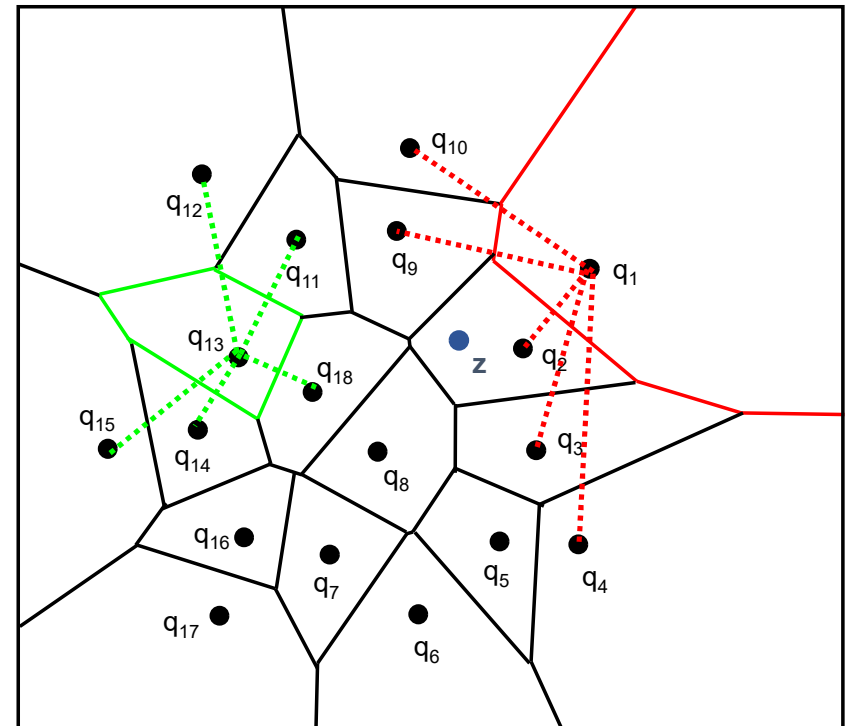


Méthodes applicables aux modèles continus

- Diagramme de Voronoï
 - Quelles sont les questions que l'on peut se poser ?
 - Étant donné un point quelconque z de E^2 , quel est le site de S_n le plus proche de z ?
 - Étant donné un site q_i de S_n , quels sont les sites de $S_n - \{q_i\}$ " les plus proches " de q_i ?
 - Quel est le plus proche voisin de q_i ?
 - La réponse à ces questions est donnée par le diagramme de Voronoï

Méthodes applicables aux modèles continus

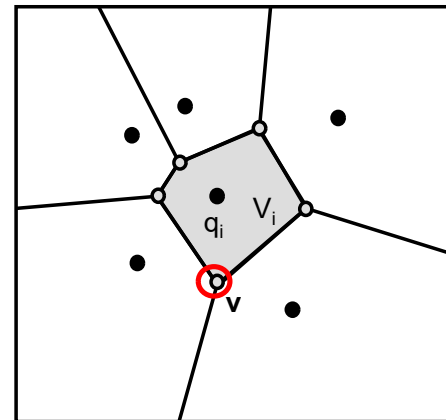
- Diagramme de Voronoï
 - Quel est le site le plus proche de Z ?
 - Quels sont les sites "les plus proches" de q_{13} ?
 - Quel est le site le plus proche de q_1 ?



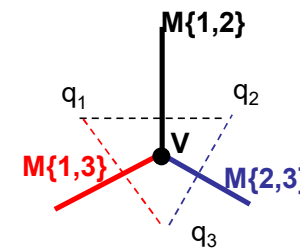
Méthodes applicables aux modèles continus

- Diagramme de Voronoï

- La **cellule** ou le polygone de Voronoï associé au site q_i se note V_i où :



- v est un sommet de Voronoï, intersection des médiatrices



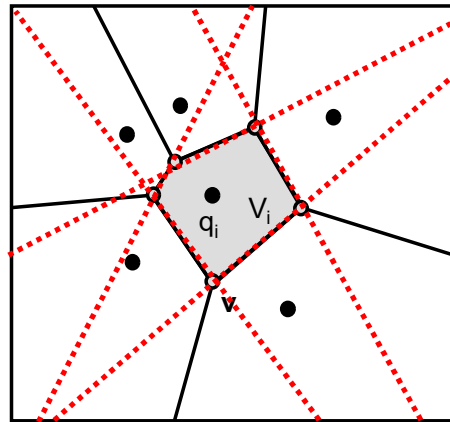
Méthodes applicables aux modèles continus

- Diagramme de Voronoï

- cellule** ou le polygone de Voronoï associé au site q_i :

$$V_i = \bigcap_{j \in I - \{i\}} h_{ij}$$

- C'est donc l'intersection de tous les demi-plans contenant q_i .



- V_i est donc la région de E^2 où les points sont plus proches de q_i que tous les autres sites de S_n .

Méthodes applicables aux modèles continus

- Diagramme de Voronoï (suite)

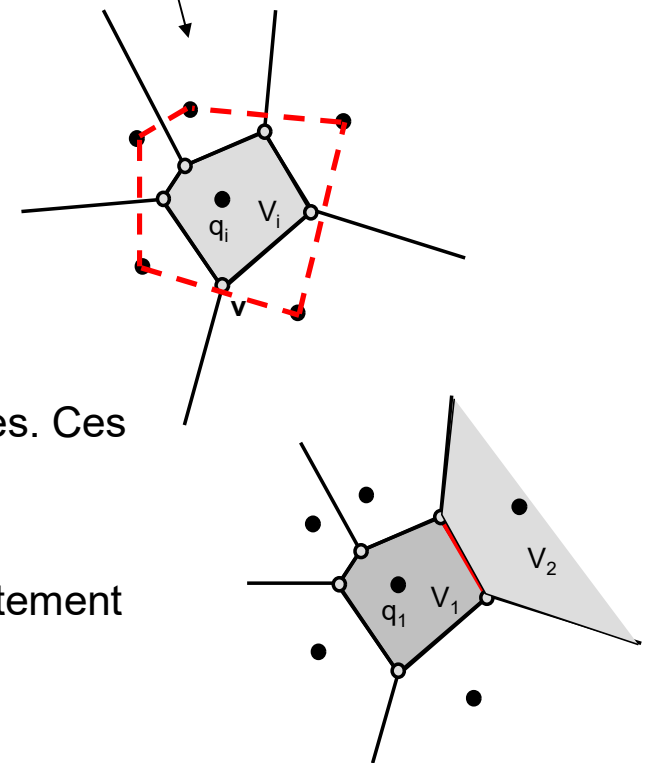
- Propriétés des cellules de Voronoï

- Quel que soit $i \in I$, V_i est convexe

Preuve : 1 cellule est l'intersection de $\frac{1}{2}$ plans

- V_i est un polygone, éventuellement non "fermé" constitué d'arêtes. Ces arêtes sont des segments des médiatrices $M\{i, j\}$
- Chaque arête de la frontière d'une cellule est partagée par exactement 2 cellules.

Polygone non "fermé" /
Cas q_i est sur enveloppe convexe



Méthodes applicables aux modèles continus

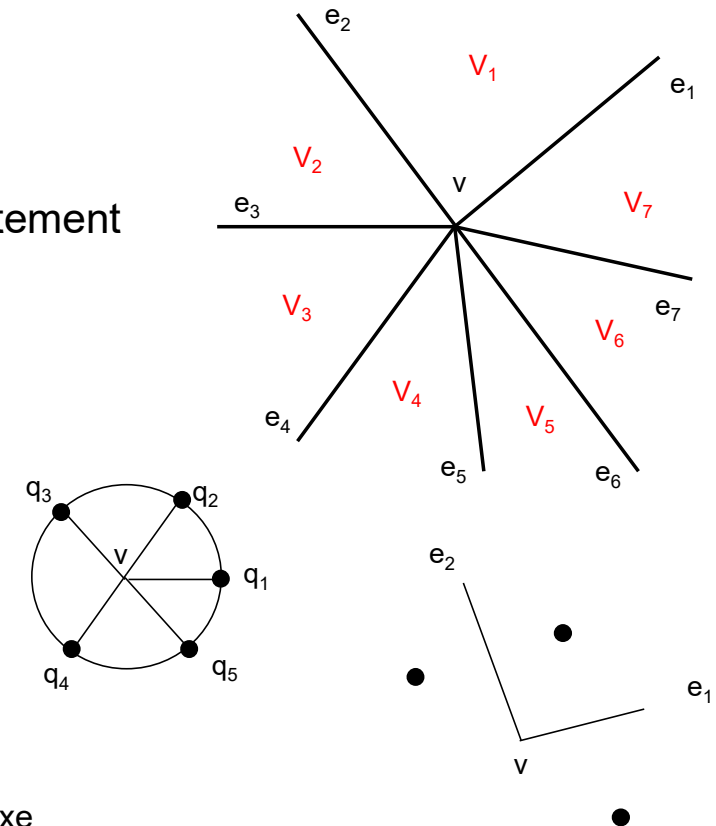
- Diagramme de Voronoï (suite)

- Propriétés des cellules de Voronoï

- Chaque sommet v de Voronoï est le point de rencontre d'exactement 3 médiatrices.

Preuve

- Soit v le point de rencontre de k médiatrices e_1, \dots, e_k avec $k > 1$.
- Les médiatrices sont ordonnées de manière polaire autour de v .
On peut donc associer une cellule par secteur polaire
- v est donc équidistant de k sites
 - Si $k \geq 4$, v est le centre du cercle circonscrit aux k sites. Impossible car les points sont en position générale.
 - Si $k < 3$, il y a au moins 1 cellule dégénérée (contient 2 sites) et non convexe (le point v ne peut donc exister)
- D'où $k = 3$



Méthodes applicables aux modèles continus

- Diagramme de Voronoï (suite)

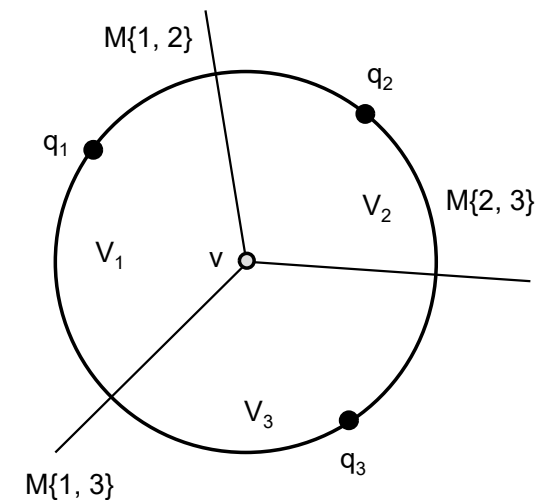
- Propriétés des cellules de Voronoï

- Corollaire: Chaque sommet v_i de Voronoï est le centre du cercle circonscrit à exactement 3 sites dont q_i .
- C'est un cercle de Voronoï, noté $C(v)$. Son intérieur est noté $\dot{D}(v)$

- Théorème: Pour tout sommet v de V_i ,

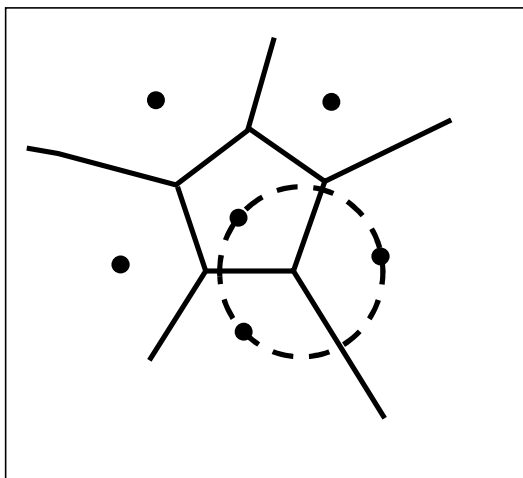
$\dot{D}(v)$ ne contient aucun autre site

- S' il existait un site q_4 à l'intérieur de $\dot{D}(v)$ alors q_4 serait plus près de v que v n'est près de q_1, q_2, q_3
- v appartiendrait alors à V_4 et pas à $V_1 \cap V_2 \cap V_3$ comme c'est le cas ici.

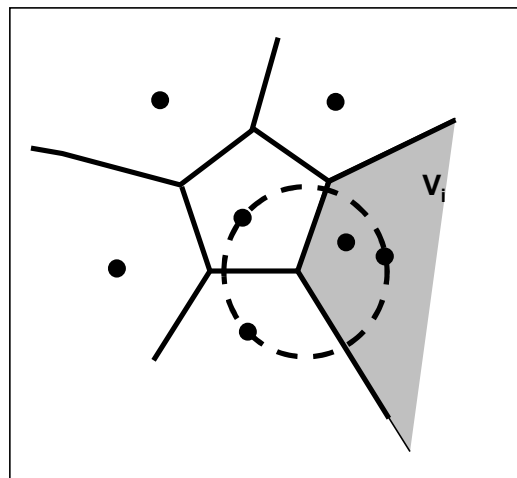


Méthodes applicables aux modèles continus

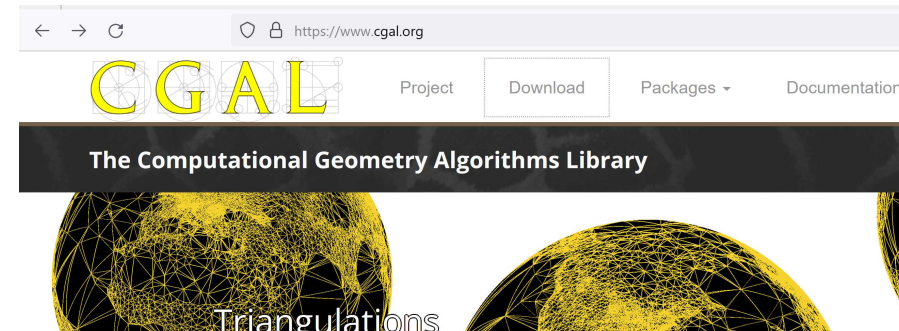
- Diagramme de Voronoï (suite)
 - Propriétés des cellules de Voronoï



Ce sont des cellules de Voronoï



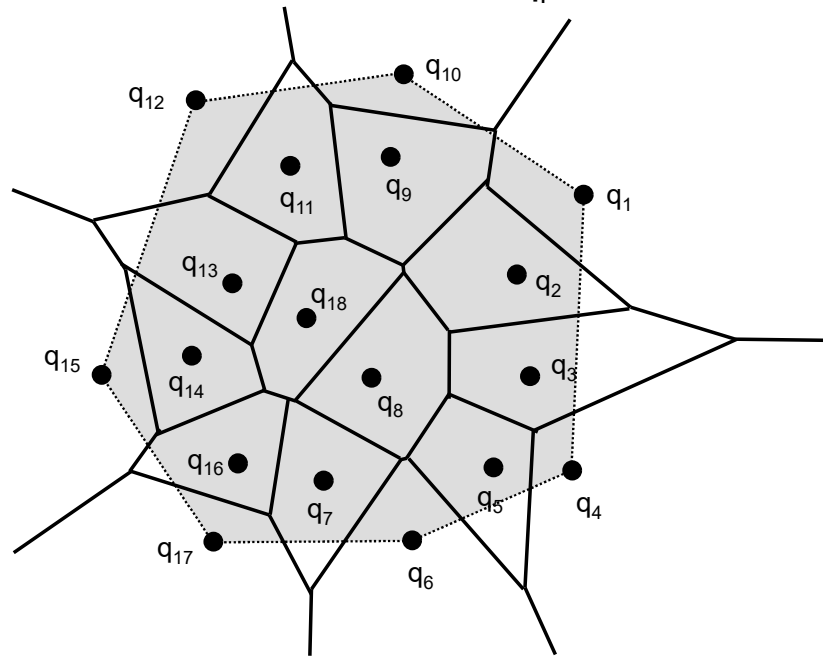
V_i n'est pas une cellule de Voronoï



<https://www.cgal.org/>

Méthodes applicables aux modèles continus

- Diagramme de Voronoï (suite)
 - Propriétés des cellules de Voronoï
 - Rôle de l'enveloppe convexe
 - V_i est non bornée si et seulement si q_i est sur la frontière de l'enveloppe convexe de S_n .



Méthodes applicables aux modèles continus

- Diagramme de Voronoï de S_n
 - Le diagramme de Voronoï de S_n est l'ensemble des cellules de Voronoï de S_n .

$$DV(S_n) = \bigcup_{i \in I} V_i$$

- C'est donc une subdivision convexe de E^2 comportant n faces.
 - Les faces sont des cellules de Voronoï associées à chaque site
 - Les arêtes sont des segments de médiatrices des sites q_1, \dots, q_n .
 - Les sommets sont de degré 3 (sommets de Voronoï) et sont le centre de cercles circonscrits à exactement à 3 sites.

Méthodes applicables aux modèles continus

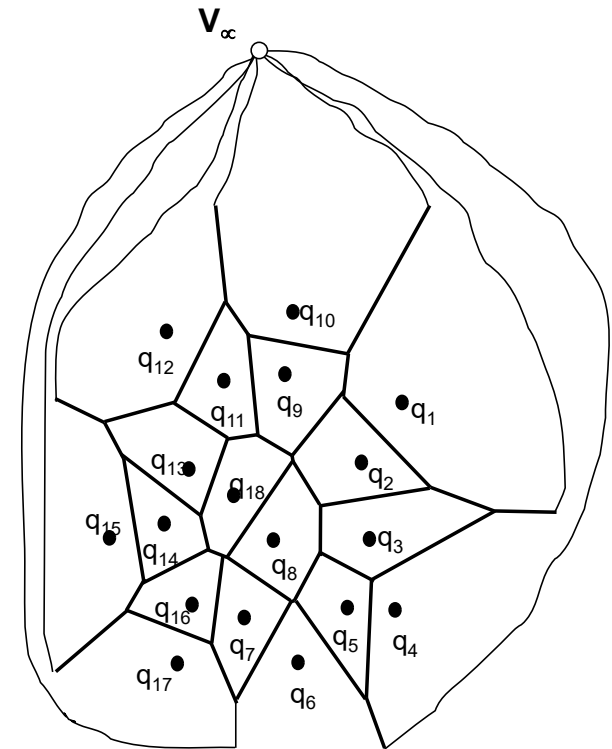
- Diagramme de Voronoï de S_n
 - Le DV de S_n est un graphe planaire de degré 3 :
 - ayant n faces
 - $2(n - 1) - nb_{ec}$ sommets (nb_{ec} est le nombre de sites sur l'enveloppe convexe)
 - $3(n - 1) - nb_{ec}$ arêtes

Méthodes applicables aux modèles continus

- Diagramme de Voronoï de S_n

- Démonstration

- $n_f + n_s - n_a = 2$ (Euler)
 - $n_s = n + 1$ avec $n = \text{nb de sites}$
 - car toutes les arêtes " infinies " sont reliées à un sommet de Voronoï à l'infini (v_∞).
 - $n_f = n$ (autant de faces que de sites)
 - D'où $n + n_s - n_a = 1$



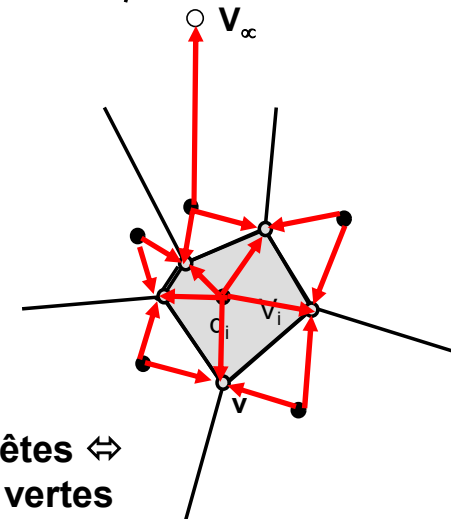
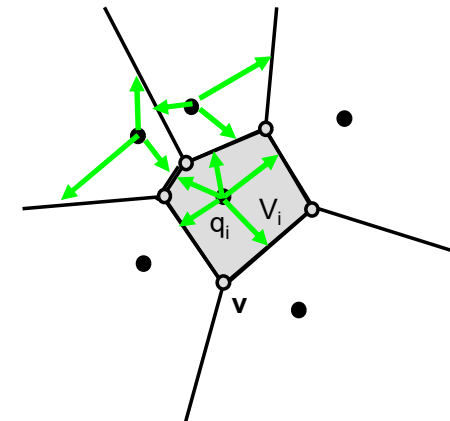
Graphe planaire connecté auquel on peut appliquer la formule d'Euler

Méthodes applicables aux modèles continus

- Diagramme de Voronoï de S_n

- Démonstration (suite)

- Si on relie par une flèche verte chaque site aux arêtes de la cellule associée
 - Comme chaque arête est commune à deux faces
 - On a $2 n_a$ flèches vertes
- Si on relie par une flèche rouge chaque site aux sommets de la cellule associée
 - On a $(nb_{ec} + 3 n_s)$ flèches rouges



1 polygone à m sommets a m arêtes \Leftrightarrow
Nb flèches rouges = nb flèches vertes

Méthodes applicables aux modèles continus

- Diagramme de Voronoï de S_n

- On a donc :

- $2 n_a = nb_{ec} + 3 n_s$

- $n_s + n - n_a = 1 \Leftrightarrow n_s = 1 - n + n_a$

- D'où

- $2 n_a = nb_{ec} + 3 - 3n + 3 n_a$

- D'où $n_a = 3n - nb_{ec} - 3 = 3(n - 1) - nb_{ec}$

- $n_a = n_s + n - 1 \Leftrightarrow n_s = n_a - n + 1$

- $n_s = 3n - 3 - nb_{ec} - n + 1$

- $n_s = 2(n - 1) - nb_{ec}$

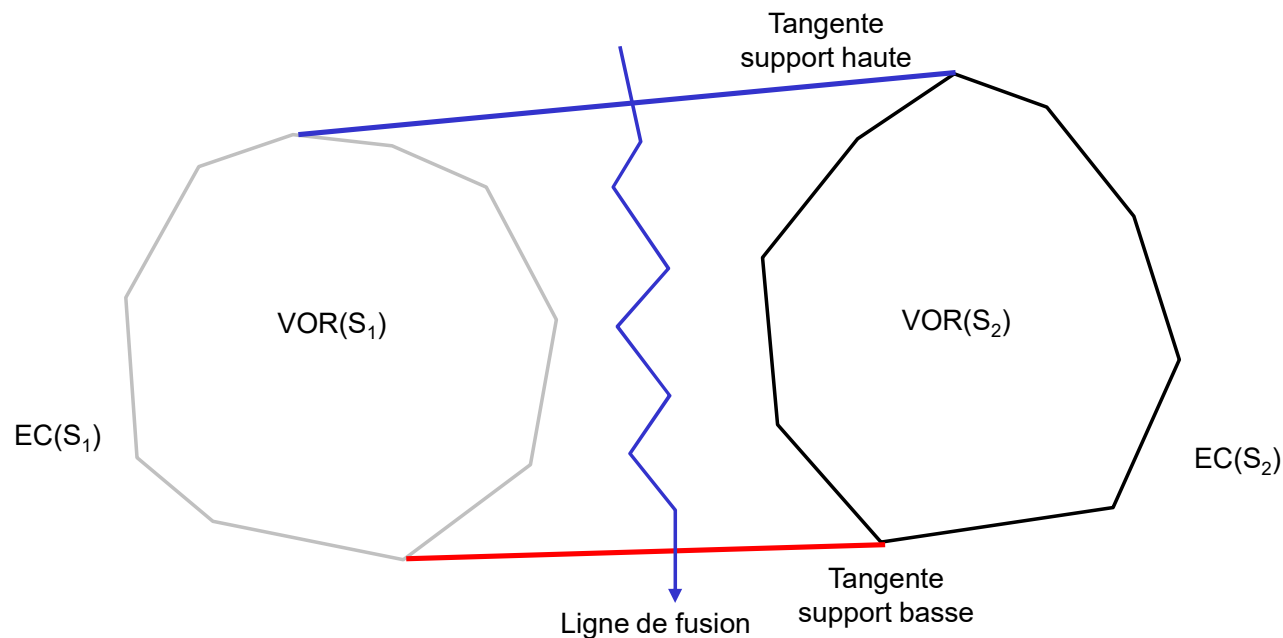
- Donc le nombre de sommets et d'arêtes ne dépendent que du nombre de sites total (n) et du nombre de sites sur l'enveloppe convexe de S_n (nb_{ec}) .

Méthodes applicables aux modèles continus

- Diagramme de Voronoï de S_n
 - Algorithmes de construction
 - L'intersection commune d'un ensemble de n plans peut être calculée en $O(n \log(n)) \Rightarrow$ pour une cellule de Voronoï
 \Rightarrow Si on a n cellules alors complexité $O(n^2 \log(n))$
 - Algorithme de division et fusion (Shamos 75) en $O(n \log(n))$
 - Algorithme de Fortune (87) : Algorithme de balayage ($O(n \log(n)) \Rightarrow$ optimal car pb de tri de n nombres est réductible au problème de calcul de diagramme de Voronoï)
 - Balayage du plan par une ligne horizontale l
 - Information maintenue = parties du diagramme de Voronoï (dont leurs sites sont au dessus de l) ne peuvent être changées par les sites au dessous de l

Méthodes applicables aux modèles continus

- Diagramme de Voronoï de S_n
 - Division et fusion : Principe

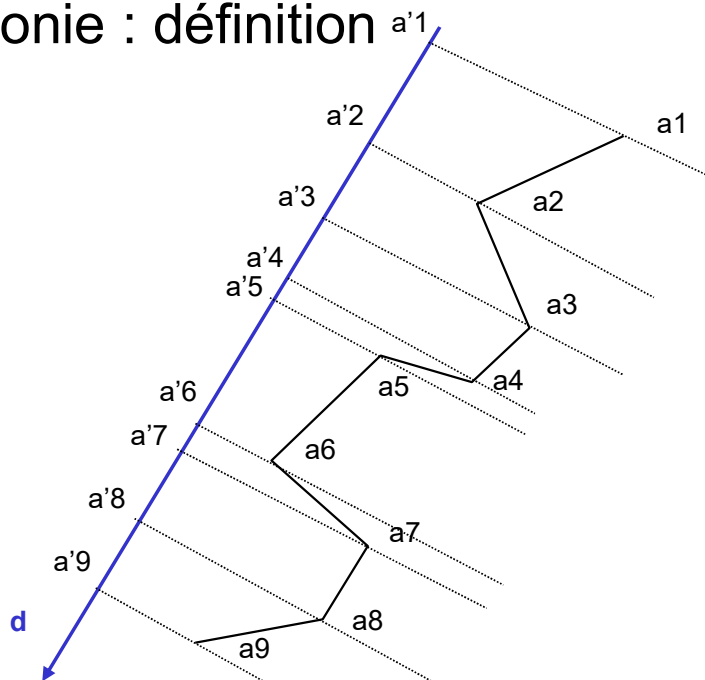


Méthodes applicables aux modèles continus

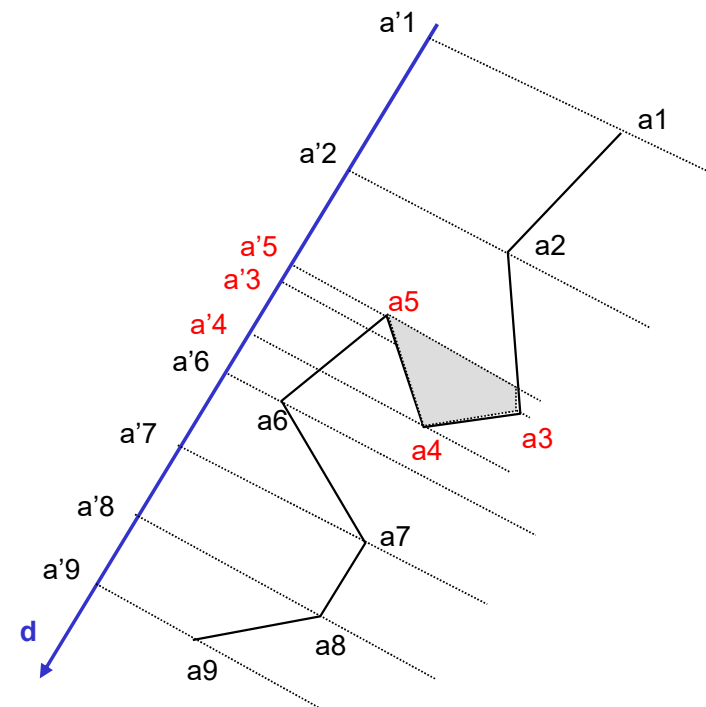
- Diagramme de Voronoï de S_n
 - Division et fusion : Procédure $VOR(S_n)$
 - si $n = 1$
 $VOR(S_n) = \text{point}$
 - si $n = 2$
 $VOR(S_n) = \text{médiatrice}$
 - si $n = 3$
 $VOR(S_n)$ dont le sommet = intersection de 3 médiatrices
 - Sinon
 - Trier S_n en fonction des x
 - $S_1 = S_n / 2$
 - $S_2 = S_n - S_1$
 - $DV_1 = VOR(S_1)$
 - $DV_2 = VOR(S_2)$
 - Fusion(DV_1, DV_2)

Méthodes applicables aux modèles continus

- Diagramme de Voronoï de S_n
 - Monotonie : définition



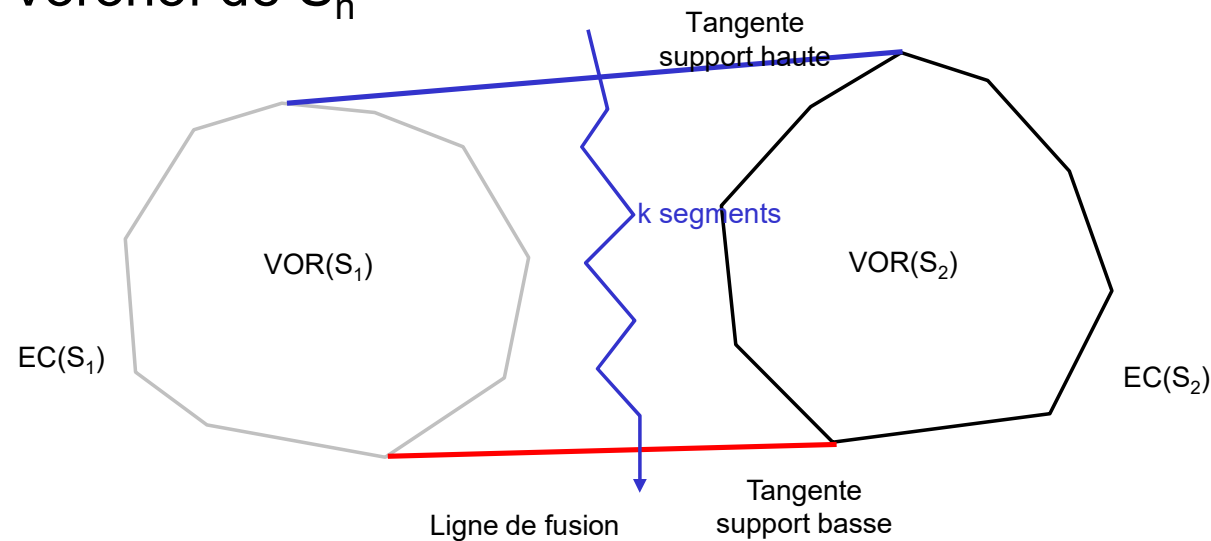
Ligne brisée = suite monotone identique à la suite monotone de ses projetés sur d
 \Rightarrow Ligne brisée est monotone / d
 \Rightarrow Ligne brisée non monotone / verticale



Ligne brisée = suite monotone différente de la suite monotone de ses projetés sur d
 \Rightarrow Ligne brisée non monotone par rapport à d

Méthodes applicables aux modèles continus

- Diagramme de Voronoï de S_n
 - fusion



La ligne de fusion est monotone par rapport à la direction Δ (ici, Δ est une droite verticale)

\Rightarrow on ne revient jamais en arrière

\Rightarrow On ne teste qu'une seule fois chaque cellule de chaque côté

(si k segments $\Rightarrow k$ tests à droite + k tests à gauche = $2k$ avec k égal au pire à $n/2$ (n : nb de sites))

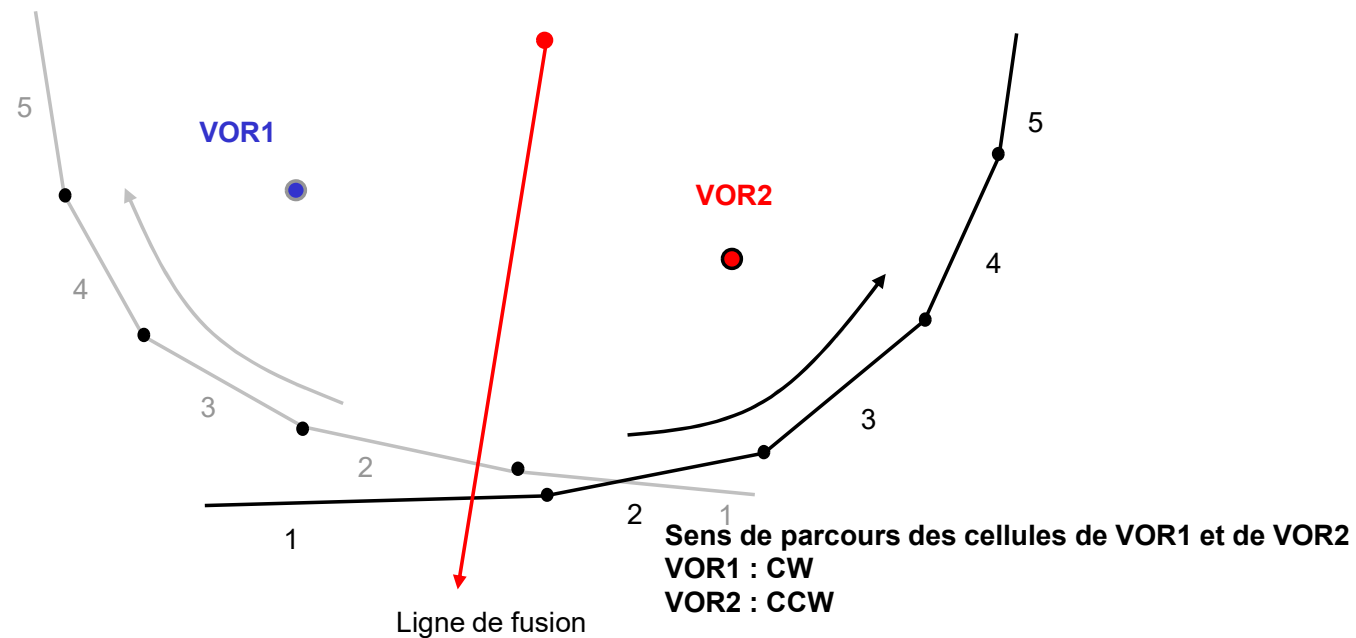
$\Leftrightarrow 2 * n/2 \Rightarrow n \Leftrightarrow$ fusion linéaire ($O(n)$)

Méthodes applicables aux modèles continus

- Diagramme de Voronoï de S_n

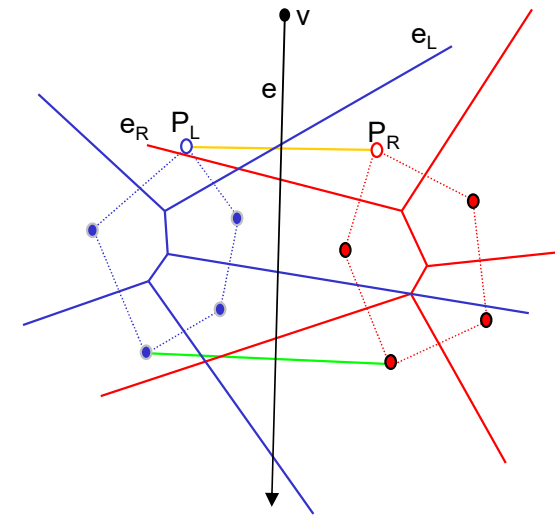
- fusion

- Sens de parcours des cellules candidates à la fusion pour minimiser le nombre de tests et obtenir une fusion en $O(n)$



Méthodes applicables aux modèles continus

- Diagramme de Voronoï de S_n
 - Fusion - Initialisation
 - P_L = pt gauche de l'EC(S_1)
 - P_R = pt droit de l'EC(S_2)
 - e = médiatrice (P_L , P_R) depuis l'infini
 - v = point à l'infini
 - e_L = première arête de la frontière de $V(P_L)$ dans le sens CW
 - e_R = première arête de la frontière de $V(P_R)$ dans le sens CCW



Méthodes applicables aux modèles continus

- Diagramme de Voronoï de S_n
 - fusion

Répéter

Tant que $I_L = \text{Int}(e, e_L)$ est vide faire $e_L = \text{next}(e_L)$

Tant que $I_R = \text{Int}(e, e_R)$ est vide faire $e_R = \text{next}(e_R)$

Si I_L est plus proche de v que I_R

$V = I_L$

$P_L = \text{site suivant de } S_1 \text{ (partageant } e_L)$

$e = \text{médiatrice de } (P_L, P_R)$

$e_L = \text{dual de } e_L \text{ dans } V(P_L)$

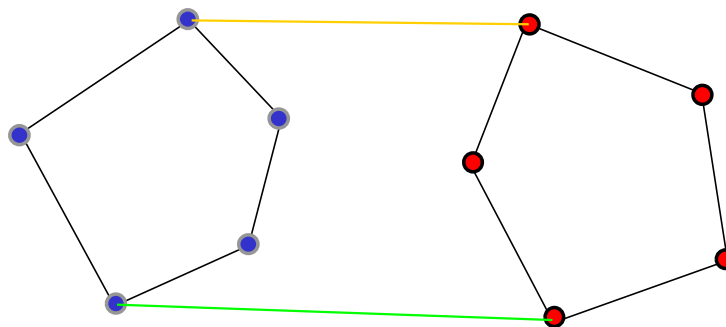
Sinon

Idem sur S_2

Jusqu'à arriver sur la tangente basse

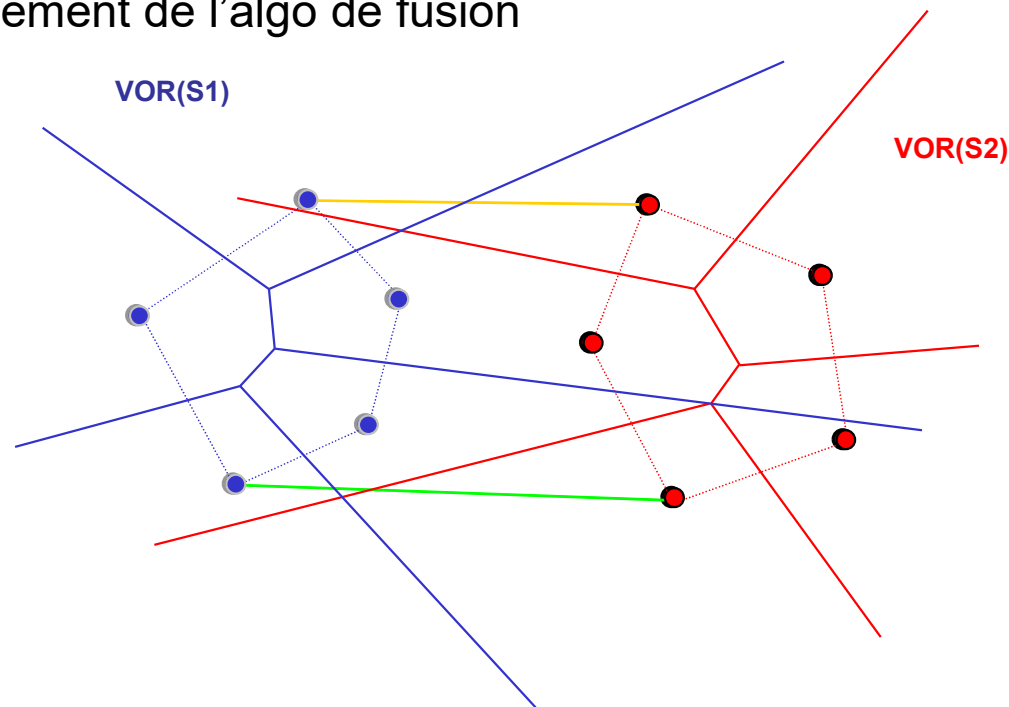
Méthodes applicables aux modèles continus

- Diagramme de Voronoï de S_n
 - Exemple de déroulement de l'algo de fusion



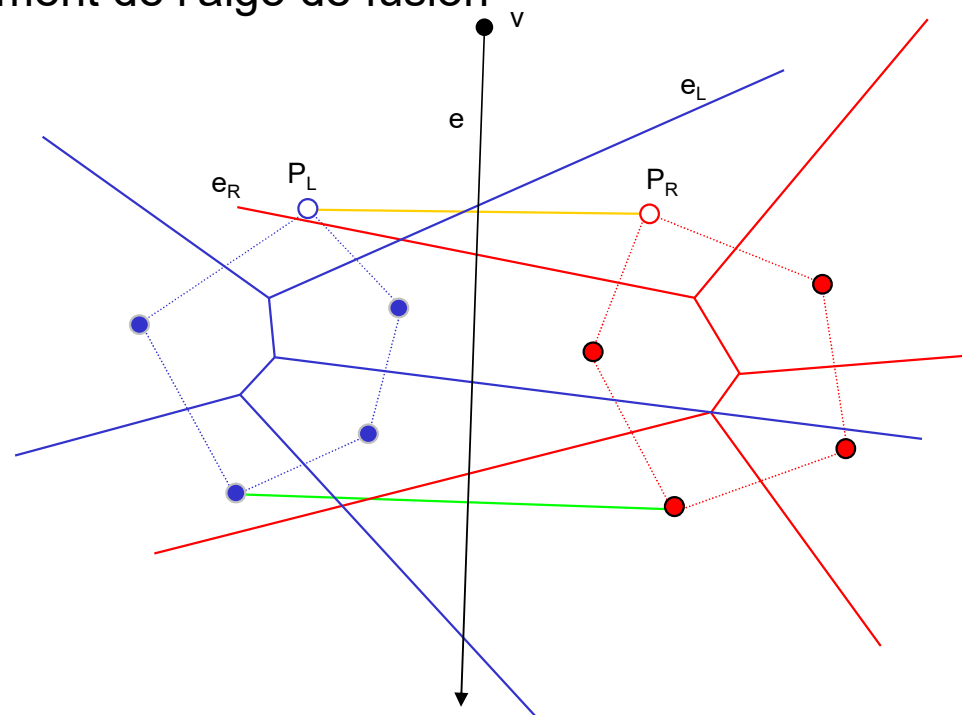
Méthodes applicables aux modèles continus

- Diagramme de Voronoï de S_n
 - Exemple de déroulement de l'algo de fusion



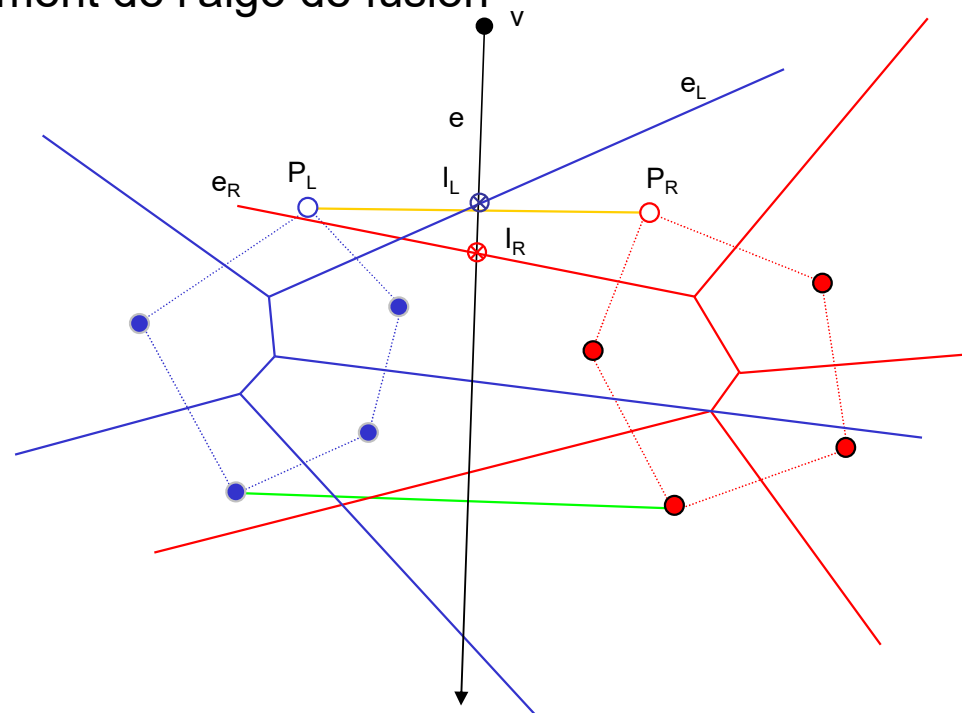
Méthodes applicables aux modèles continus

- Diagramme de Voronoï de S_n
 - Exemple de déroulement de l'algo de fusion



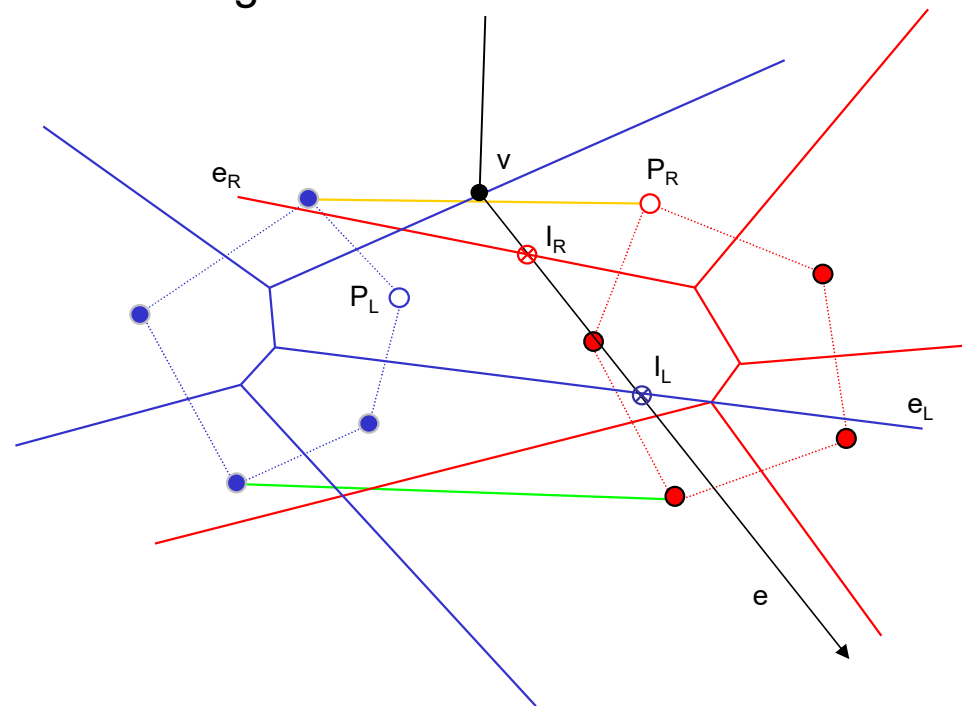
Méthodes applicables aux modèles continus

- Diagramme de Voronoï de S_n
 - Exemple de déroulement de l'algo de fusion



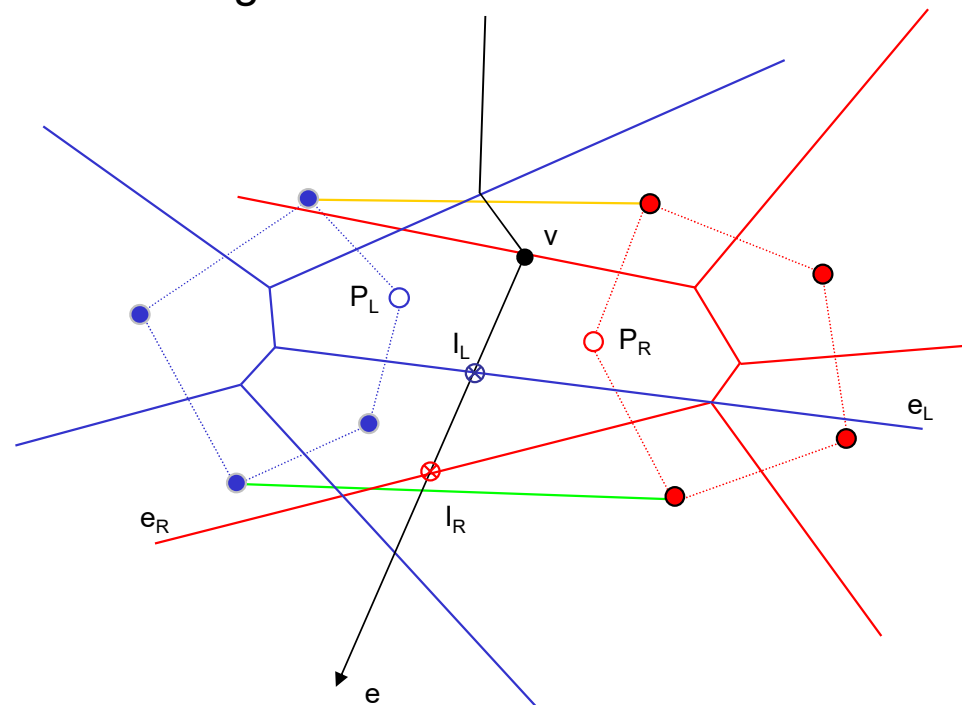
Méthodes applicables aux modèles continus

- Diagramme de Voronoï de S_n
 - Exemple de déroulement de l'algo de fusion



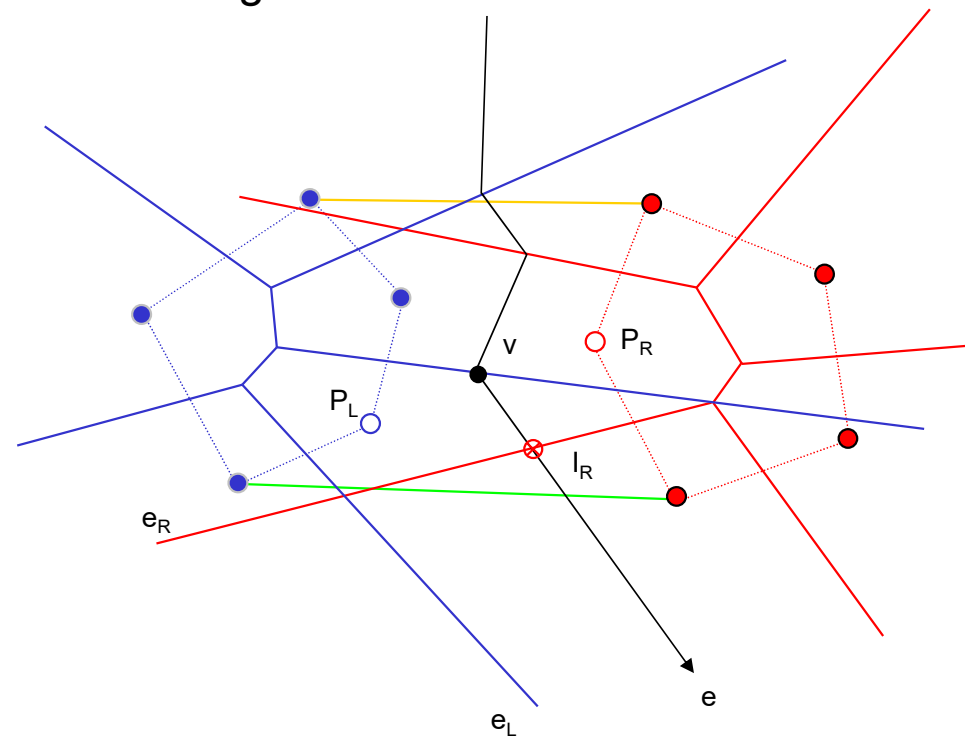
Méthodes applicables aux modèles continus

- Diagramme de Voronoï de S_n
 - Exemple de déroulement de l'algo de fusion



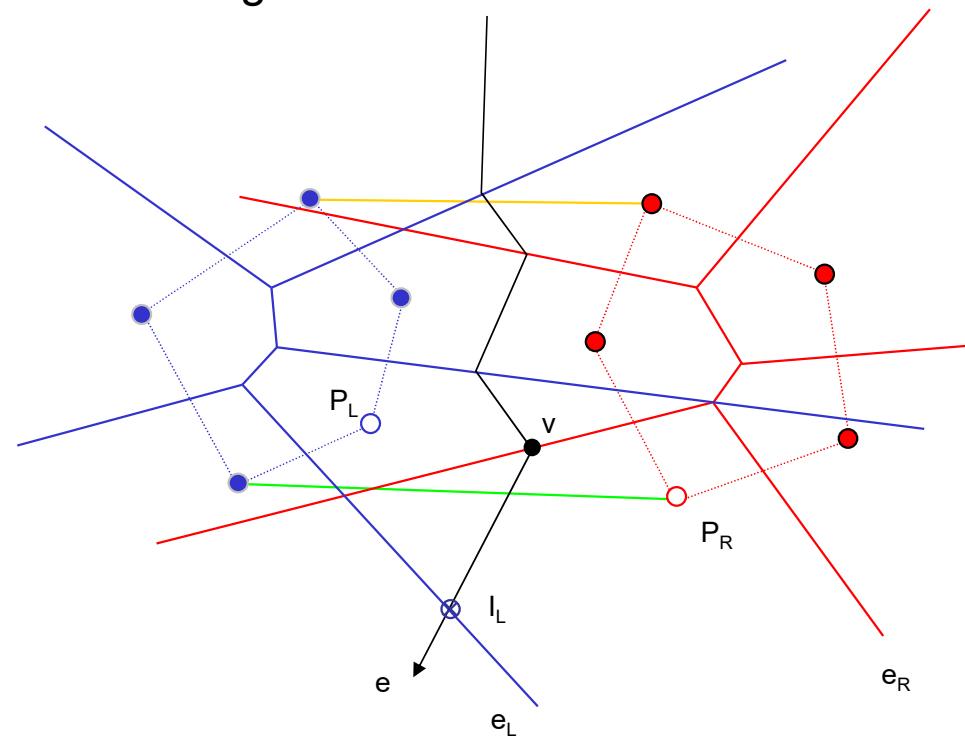
Méthodes applicables aux modèles continus

- Diagramme de Voronoï de S_n
 - Exemple de déroulement de l'algo de fusion



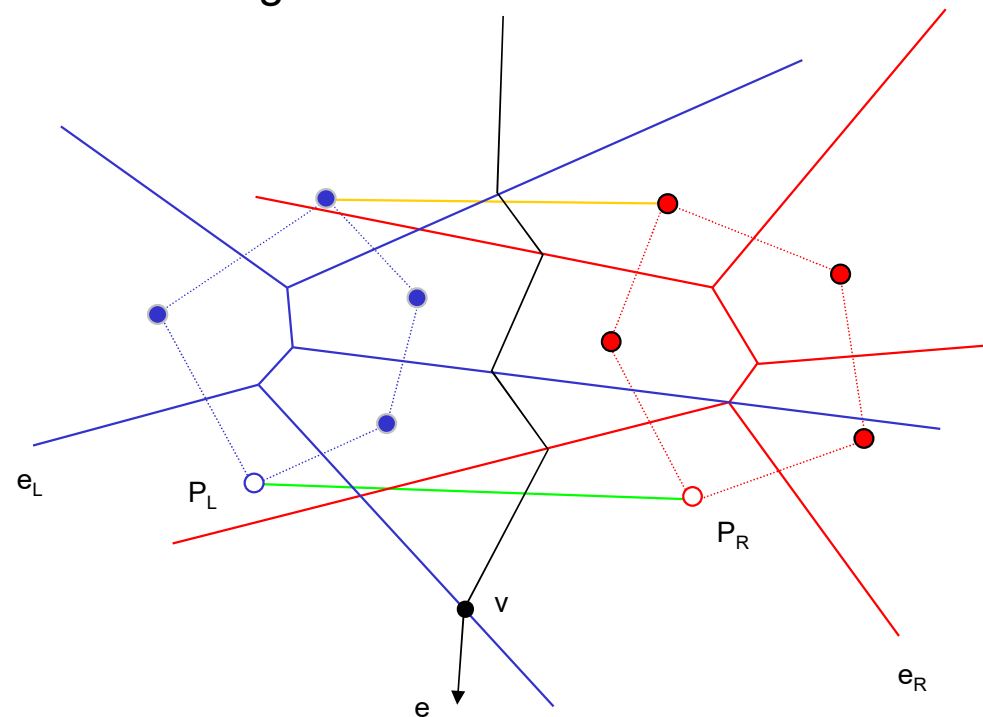
Méthodes applicables aux modèles continus

- Diagramme de Voronoï de S_n
 - Exemple de déroulement de l'algo de fusion



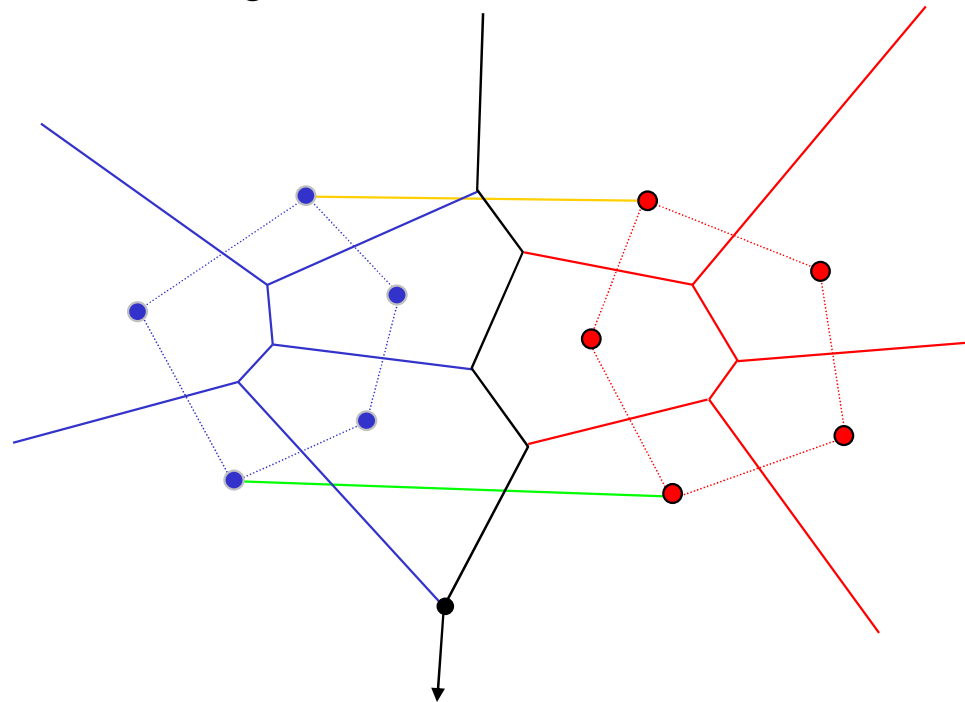
Méthodes applicables aux modèles continus

- Diagramme de Voronoï de S_n
 - Exemple de déroulement de l'algo de fusion



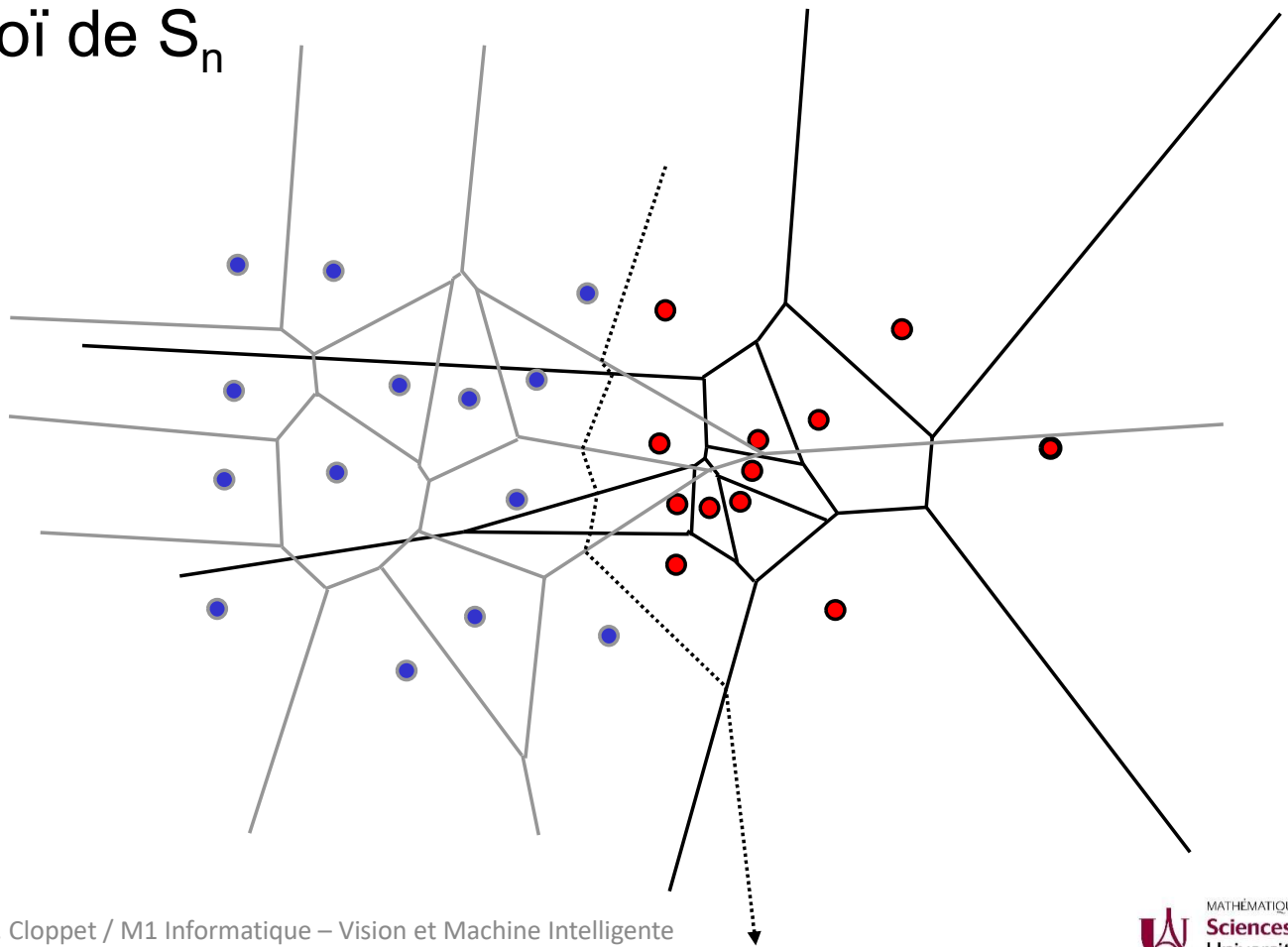
Méthodes applicables aux modèles continus

- Diagramme de Voronoï de S_n
 - Exemple de déroulement de l'algo de fusion



Méthodes applicables aux modèles continus

- Diagramme de Voronoï de S_n
 - fusion



Méthodes applicables aux modèles continus

- Diagramme de Voronoï de S_n
 - fusion

